

ГЕОХИМИЯ

УДК 549.02+548.74

## ВАЛЕНТНОЕ СОСТОЯНИЕ И СТРУКТУРНОЕ ПОЛОЖЕНИЕ АТОМОВ ЖЕЛЕЗА В СИНТЕТИЧЕСКОМ МУРАТАИТЕ

© 2002 г. Член-корреспондент РАН В. С. Урусов, В. С. Русаков, С. В. Юдинцев

Поступило 14.01.2002 г.

В последние годы редкий минерал муратайт, сложный оксид редких земель, титана, железа и ряда других элементов, привлек к себе пристальное внимание в качестве потенциальной матрицы для захоронения радиоактивных отходов. Искусственные аналоги муратайта были обнаружены в керамиках, полученных твердофазовым отжигом при 1000–1200°C и  $P = 14\text{--}69$  МПа в США [1] и плавлением–кристаллизацией в России [2].

Кристаллическая структура природного муратайта с идеализированной формулой  $A_6B_{12}C_4TX_{40-x}$  ( $A = Y, Na; B = Ti; C = Fe; T = Zn; X = O, F$ ) была определена в работе [3] как кубическая, пр.гр.  $F\bar{4}3m$ ,  $a = 14.89$  Å,  $Z = 4$ . Структура содержит четыре различные катионные позиции:  $A^{[8]}$  – искаженный куб с координацией 8,  $B^{[6]}$  – октаэдр,  $C^{[5]}$  – пятивершинник (сильно искаженная тригональная бипирамида) и  $T^{[4]}$  – правильный тетраэдр. Октаэдры  $B$  связаны ребрами в компактные  $B_3X_{13}$ -группы, четыре из которых, соединяясь вершинами, образуют полианион, имеющий форму притупленного (лавесовского) тетраэдра и известный как Кеггин-структура  $[B_{12}TX_{40}]^{n-}$ . Она рассматривается в работе [3] как фундаментальный строительный блок всей кристаллической структуры. В центре каждой Кеггин-структурой помещается тетраэдрическая пустота  $T$ . Наконец, внутри шестиугольных граней лавесовского тетраэдра находится место для пятивершинников  $C^{[5]}$ .

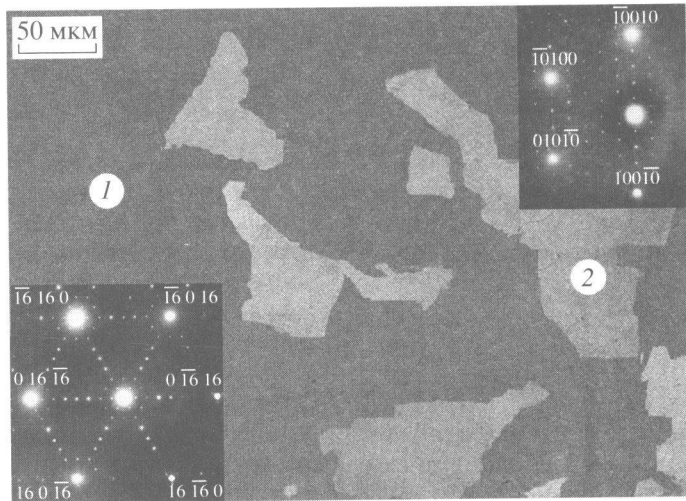
Другая линия генетического родства структуры муратайта была отчетливо прослежена еще до определения его структуры [1]. Было установлено, что структура синтетического муратайта состава  $(Ca,Mn)_2Zr(Fe,Al)_4Ti_3O_{16}$  может быть представлена как оксидный флюоритовый мотив с устроенным отношением параметров кубических

ких ячеек:  $a(\text{муратайт}) \approx 3a(\text{флюорит})$ . Действительно, структуры многочисленных неорганических соединений и минералов, содержащих в своем составе  $Zr, Ti, Ca, Mn, Mg$ , редкоземельные и другие элементы, являются производными от простых оксидов с флюоритовой структурой  $MO_2$  ( $M = Zr, Hf, Tb, Ce, U, Th$  и др.,  $a = 5.07\text{--}5.47$  Å, пр.гр.  $Fm\bar{3}m$ ). Например, “стабилизированные” примесями ( $Ti, Ca, Mn, Mg$ ) оксиды циркония имеют параметры флюоритовых ячеек в интервале от 4.9 до 5.1 Å, а для минерала тажеранита ( $Zr, Ca, Ti)O_{2-x}$   $a = 5.11$  Å [4]. Общей чертой подобных соединений является образование производных вычитания с появлением вакансий в анионной (кислородной) подрешетках, когда образующий плотнейшую кубическую упаковку 4-валентный катион замещается (безразлично – упорядоченно или неупорядочено) на катионы более низкой валентности. Простейшие формулы упорядоченных производных могут быть представлены в виде  $M_nO_{2n-k}$ , где  $n$  и  $k$  – простые целые числа,  $k \leq n/2$  [5], а катионные полизэдры могут быть представлены “целыми”  $A$  и “усеченными” по одной или двум вершинам кубами – семивершинниками  $D$  и октаэдрами  $B$ , занимающими позиции кубической плотнейшей упаковки.

Ранее искусственные муратайты были изучены методами рентгенофазового анализа и просвечивающей электронной микроскопии [2, 6]. Однако неопределенности, которые возникают из-за отсутствия сведений о валентности и структурном положении отдельных атомов, в частности Fe и Mn, не позволяют сделать однозначных выводов о вероятной кристаллохимической формуле этих веществ. С целью получения таких данных было решено использовать мёссбауэровскую спектроскопию на ядрах  $^{57}\text{Fe}$ , которая позволяет выявить как валентность, так и вероятное структурное положение атомов Fe.

Для получения мономинеральной керамики исходную шихту готовили из растертых до 20–30 мкм оксидов:  $\text{CaO}$ ,  $\text{Al}_2\text{O}_3$ ,  $\text{Fe}_2\text{O}_3$ ,  $\text{MnO}_2$ ,  $\text{ZrO}_2$ ,  $\text{TiO}_2$ ,  $\text{ZrO}_2$ ,  $\text{UO}_2$  в соответствующих пропорциях. Плавление шихты проводили в высокотемпературной печи в платиновых ампулах на воздухе при темпе-

Московский государственный университет им. М.В. Ломоносова  
Институт геологии рудных месторождений, петрографии, минералогии и геохимии Российской Академии наук, Москва



**Рис. 1.** Изображение в обратно-рассеянных электронах образца М-2/5. Темно-серое поле 1 – Мур-8, светло-серое 2 – Мур-5. На врезках – картины дифракции электронов для обеих фаз от плоскости обратной решетки (111)\*.

ратуре 1450°C в течение 1 ч. Затем производилось регулируемое охлаждение печи до 1000°C со скоростью 10 град/мин, затем ее отключали, и она остывала до комнатной температуры. Были приготовлены два образца М-2/5 и М-3/5, которые изучали методами оптической микроскопии (ПОЛАМ-Л213), рентгенофазового анализа (ДРОН-4, Со-излучение) и на сканирующем электронном микроскопе JSM-5300 с энергодисперсионным спектрометром “Link ISIS” (аналитик М.И. Лапина, ИГЕМ РАН). Анализ проводили при напряжении 25 кэВ, токе 1 нА, диаметр зонда составлял 1–3 мкм, время набора импульсов 50 с. Эталонами служили чистые металлы, оксиды и фосфаты. Предел обнаружения элементов составлял 0.2–0.4 мас. %, точность анализа 10 отн. %.

Изучение образцов с использованием аналитического электронно-микроскопического комплекса выявило преобладание в их составе муратаита (около 90–95% объема). При исследовании в оптическом микроскопе установлено, что эта основная фаза оптически изотропна, в проходящем свете прозрачна и имеет желтоватый цвет. Ее особенностью является наличие участков различного состава и периодичности. Их исследование на просвечивающем электронном микроскопе JEM-100с показало [6, 7], что они являются фазами с восьми- (Мур-8) и пятикратной (Мур-5) повторяемостью элементарной флюоритовой ячейки (рис. 1). Мур-8 имеет более высокое содержание Al и Fe, но более низкое Zr и U (табл. 1). В количественном отношении Мур-8 преобладает над разностью Мур-5 (70 : 30%).

Наличие двух фаз сходного структурного типа проявляется на рентгенограмме в виде набора отражений, каждое из которых состоит из двух сближенных рефлексов. Соотношение интенсив-

ностей наиболее интенсивных рефлексов двух фаз муратаитового типа с  $d = 2.851 \text{ \AA}$  и  $d = 2.824 \text{ \AA}$  для данного образца составляет около 40 отн. %, что отвечает следующим относительным количествам: ~30% Мур-5 и ~70% Мур-8. Эти оценки близки к значениям содержаний данных фаз, полученных с использованием метода сканирующей электронной микроскопии. Если предположить, что наиболее интенсивные отражения отвечают межплоскостным расстояниям с индексами  $hkl = -555$  ( $d = 2.851 \text{ \AA}$ ) для Мур-5 и  $888$  ( $d = 2.824 \text{ \AA}$ ) для Мур-8, то получим значения параметра эл. яч.  $a = 24.69$  и  $39.13 \text{ \AA}$  соответственно.

Для исследования валентного и структурного состояний атомов железа использовалась мёссбауэровская спектроскопия на ядрах  $^{57}\text{Fe}$  в геометрии “на поглощение”. Исследования проводились при комнатной температуре на спектрометре электродинамического типа, работающего в режиме постоянных ускорений. Анализ экспериментальных спектров осуществлялся методом модельной расшифровки и восстановления функций распределения сверхтонких параметров парциальных спектров [8] с помощью программного комплекса MSTools [9].

Мёссбауэровские спектры ядер  $^{57}\text{Fe}$  в образцах 2/5 и 3/5 муратаита представляли собой совокупность двух четко выраженных парциальных спектров с существенно разными значениями квадрупольного смещения компонент спектра  $\epsilon$  и несколько отличающимися значениями сдвига мёссбауэровской линии  $\delta$ . Причем большим значениям квадрупольного смещения  $\epsilon$  соответствовали меньшие значения сдвига  $\delta$  (рис. 2). Эти спектры были подвергнуты модельной расшифровке в предположении о наличии двух независимых асимметричных квадрупольных дублетов с ком-

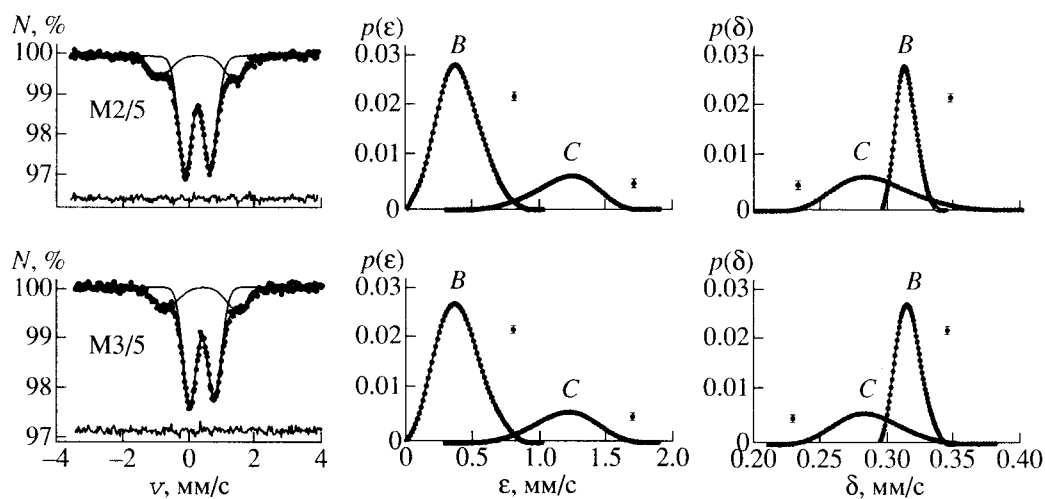


Рис. 2. Мёссбауэрские спектры ядер  $^{57}\text{Fe}$  в образцах M2/5 и M3/5 и результаты их модельной расшифровки и восстановления сверхтонких параметров. Для  $p(\epsilon)$  и  $p(\delta)$  указаны характерные стандартные отклонения.

понентами одинаковой интенсивности и восстановлению функций распределения сверхтонких параметров двух парциальных спектров в предположении о наличии для каждого из них линейной корреляции между параметрами  $\epsilon$  и  $\delta$  [8]. Результаты модельной расшифровки спектров – сдвиг  $\delta$ , квадрупольное смещение  $\epsilon$ , ширины компонент  $\Gamma_{1,2}$  и относительные интенсивности  $I$  для каждого из парциальных спектров – приведены в табл. 2, а характеристики восстановленных функций распределения – средние значения сдвига  $\bar{\delta}$  и квадру-

польного смещения  $\bar{\epsilon}$ , ширины функций распределения  $\Gamma_{p(\delta)}$  и  $\Gamma_{p(\epsilon)}$  на половине высоты, а также значения линейной корреляции сверхтонких параметров  $\Delta\delta/\Delta\epsilon$  – в табл. 3.

Дублет с меньшим значением квадрупольного смещения ( $\epsilon \sim 0.37$ – $0.39$  мм/с) и большим значением сдвига ( $\delta \sim 0.31$ – $0.32$  мм/с) в каждом из спектров (см. табл. 2, 3) относится к атомам  $\text{Fe}^{3+}$  в высокоспиновом состоянии в октаэдрическом кислородном окружении (ср. с результатами работ [10, 11]), которые занимают позиции B в структу-

**Таблица 1.** Валовые составы образцов, обнаруженные в них фазы методом рентгенофазового анализа, а также составы муратаита по данным электронной микроскопии

Образец и фаза	$\text{Al}_2\text{O}_3$	$\text{CaO}$	$\text{TiO}_2$	$\text{MnO}$	$\text{F}_2\text{O}_3$	$\text{ZrO}_2$	$\text{UO}_2$	Соотношение фаз
M2/5	2.0	14.0	49.0	13.0	6.0	7.0	9.0	Mур $\gg$ Кр > Пб
Мур-8	6.7	10.2	50.2	10.3	6.7	8.2	7.8	
Мур-5	4.9	10.8	48.2	9.8	4.8	11.4	10.1	
M3/5	2.0	14.0	49.0	13.0	6.0	7.0	9.0	Mур $\gg$ Кр > Пб
Мур-8	6.9	9.7	50.4	10.6	6.6	7.4	8.2	
Мур-5	5.5	10.1	49.4	9.4	5.8	10.0	9.7	

Примечание. Мур – муратаит, Кр – кричтонит, Пб – псевдобрукит.

**Таблица 2.** Результаты модельной расшифровки мёссбауэрских спектров ядер  $^{57}\text{Fe}$  в образцах 2/5 и 3/5 муратаита

Образец	Позиция Fe	$\delta^*$ , мм/с	$\epsilon$ , мм/с	$\Gamma_1$ , мм/с	$\Gamma_2$ , мм/с	$I$ , %
M2/5	$B^{[6]}$	0.310(2)	0.371(3)	0.485(4)	0.512(7)	76.7(2.3)
	$C^{[5]}$	0.293(9)	1.121(20)	0.829(50)	0.740(60)	23.3(1.3)
M3/5	$B^{[6]}$	0.313(2)	0.369(2)	0.487(5)	0.519(8)	75.4(1.0)
	$C^{[5]}$	0.298(10)	1.089(19)	0.898(52)	0.782(64)	24.6(1.4)

\* Здесь и далее сдвиг мёссбауэрской линии  $\delta$  приведен относительно  $\alpha\text{-Fe}$ .

**Таблица 3.** Характеристики восстановленных функций распределения сверхтонких параметров мёссбауэровских спектров ядер  $^{57}\text{Fe}$  в образцах 2/5 и 3/5 муратаита

Образец	Позиция Fe	$\bar{\delta}$ , мм/с	$\Gamma_{p(\delta)}$ , мм/с	$\bar{\epsilon}$ , мм/с	$\Gamma_{p(\epsilon)}$ , мм/с	$\Delta\delta/\Delta\epsilon$
M2/5	$B^{[6]}$	0.312(5)	0.018(1)	0.388(2)	0.383(8)	+0.047(9)
	$C^{[5]}$	0.288(99)	0.066(4)	1.182(10)	0.528(31)	-0.125(38)
M3/5	$B^{[6]}$	0.317(5)	0.023(1)	0.391(2)	0.405(8)	+0.056(9)
	$C^{[5]}$	0.287(99)	0.058(4)	1.192(9)	0.545(41)	-0.106(44)

ре муратаита. Сверхтонкие параметры второго парциального спектра характеризуются существенно большими значениями квадрупольного смещения ( $\epsilon \sim 1.11\text{--}1.19$  мм/с) и несколько меньшими значениями сдвига ( $\delta \sim 0.29\text{--}0.30$  мм/с), что указывает на сильную асимметрию локального окружения атомов железа при более низком координационном числе. Сравнение с типичными спектрами  $\text{Fe}^{3+}$  в тригонально-дипирамидальной координации для различных неорганических и металлоганических соединений [12–15] не оставляет сомнений в том, что этот парциальный спектр соответствует  $\text{Fe}^{3+}$  в позиции  $C^{[5]}$  структуры муратаита. Наблюдаемое большое квадрупольное смещение  $\epsilon$  может указывать на существенный вклад в градиент электрического поля валентных электронов атома железа [10], участвующих в ковалентных связях с окружающими его лигандами.

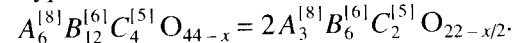
Спектры, снятые при температуре кипения жидкого азота, также представляли собой суперпозицию двух квадрупольных дублетов. Химические сдвиги из-за температурного сдвига были на  $\sim 0.13$  мм/с больше, чем при комнатной температуре, а квадрупольные смещения – на несколько процентов большие, в основном из-за уменьшения расстояний между атомами в результате теплового сжатия кристаллической решетки (см., например, [10]). Поскольку относительные интенсивности парциальных спектров практически совпадали со значениями, полученными при комнатной температуре, то можно предположить, что дебавьевские температуры, описывающие колебательные спектры атомов железа в позициях  $B$  и  $C$ , близки. Это означает, что относительные интенсивности парциальных спектров  $I$  равны относительным заселеностям  $n_{\text{Fe}}$  атомами Fe этих позиций. В соответствии с результатами модельной расшифровки спектров  $n_B^{\text{Fe}} : n_C^{\text{Fe}} \cong 3 : 1$  (см. табл. 2).

Обращает на себя внимание тот факт, что при малой величине эффекта в экспериментальном спектре (<3%, см. рис. 2) ширины компонент парциальных спектров, полученных путем модельной расшифровки (см. табл. 3), в несколько раз превышают значения, характерные для регулярных (упорядоченных) систем, в частности для эта-

лонных образцов  $\alpha$ -Fe. Это объясняется наличием в образцах двух различных и сложных по составу и структуре твердых растворов – Мур-5 и Мур-8, что приводит к возникновению локальной неоднородности в окружении атомов железа [9].

Помимо этого ширины компонент парциального спектра, а также ширины функций распределения квадрупольного смещения  $\Gamma_{p(\epsilon)}$  и сдвига  $\Gamma_{p(\delta)}$  для позиции  $C$  значительно превышают соответствующие величины для позиции  $B$  (см. табл. 2, 3). Для этих двух парциальных спектров наблюдается разная по знаку и величине корреляция сверхтонких параметров (см. табл. 3), которая может указывать на различные механизмы, вызывающие одновременные изменения сдвига  $\Delta\delta$  и квадрупольного смещения  $\Delta\epsilon$  при изменении положения атомов Fe. Возможная причина этого состоит в том, что в природном муратаите в ближайшем окружении атома Fe в позиции  $C$  обнаружены два статистически (с вероятностью 0.5) заселенных положения атомов кислорода O4 на расстояниях 1.87 и 2.17 Å от атомов Fe [3].

Сведения, полученные с помощью мёссбауэровской спектроскопии, позволяют выдвинуть следующие гипотезы о строении муратаитовой фазы: в обеих разновидностях муратаита трехвалентное железо распределяется практически статистически, т.е. в соотношении 3 : 1 между  $B$ -октаэдрами и  $C$ -пятивершинниками, а тетраэдрические позиции  $T$ , вероятно, не заселены. С этими предположениями идеализированная кристаллохимическая формула синтетических муратаитов может быть существенно упрощена:



Пересчет химических анализов (см. табл. 1) на атомные количества приводит к выводу, что средняя валентность катионов для всех четырех муратаитов составляет 3.33(1). Тогда простой расчет для обобщенной формулы  $M_{11}O_{22-x/2}$  ( $M = A, B, C$ ) дает значение  $x/2 = 3.7$ , т.е. количество атомов O в формуле составляет  $22 - 3.7 = 18.3$ . Это позволяет предложить следующие “кристаллохимические” формулы исследованных муратаитов (приведено заселение только катионных позиций):

	$A_3^{[8]}$	$B_6^{[6]}$	$C_2^{[5]}$
Мур-8 (M2/5)	$\text{Ca}_{1.58}^{2+}\text{Mn}_{0.59}^{2+}\text{U}_{0.25}^{4+}\text{Zr}_{0.58}^{4+}$	$\text{Ti}_{4.78}^{4+}\text{Fe}_{0.55}^{3+}\text{Mn}_{0.67}^{2+}$	$\text{Ti}_{0.68}^{4+}\text{Al}_{1.14}^{3+}\text{Fe}_{0.18}^{3+}$
Мур-8 (M3/5)	$\text{Ca}_{1.51}^{2+}\text{Mn}_{0.70}^{2+}\text{U}_{0.27}^{4+}\text{Zr}_{0.52}^{4+}$	$\text{Ti}_{4.86}^{4+}\text{Fe}_{0.54}^{3+}\text{Mn}_{0.60}^{2+}$	$\text{Ti}_{0.64}^{4+}\text{Al}_{1.18}^{3+}\text{Fe}_{0.18}^{3+}$
Мур-5 (M2/5)	$\text{Ca}_{1.73}^{2+}\text{Mn}_{0.11}^{2+}\text{U}_{0.33}^{4+}\text{Zr}_{0.83}^{4+}$	$\text{Ti}_{4.46}^{4+}\text{Fe}_{0.41}^{3+}\text{Mn}_{1.13}^{2+}$	$\text{Ti}_{0.97}^{4+}\text{Al}_{0.87}^{3+}\text{Fe}_{0.14}^{3+}$
Мур-5 (M3/5)	$\text{Ca}_{1.60}^{2+}\text{Mn}_{0.37}^{2+}\text{U}_{0.31}^{4+}\text{Zr}_{0.72}^{4+}$	$\text{Ti}_{4.70}^{4+}\text{Fe}_{0.49}^{3+}\text{Mn}_{0.81}^{2+}$	$\text{Ti}_{0.79}^{4+}\text{Al}_{0.96}^{3+}\text{Fe}_{0.16}^{3+}$

Можно видеть, что заселенности катионных позиций в фазах Мур-8 для обоих образцов весьма подобны друг другу, как и для фаз Мур-5 между собой. Однако различие между Мур-8 и Мур-5 довольно существенное и заключается прежде всего в более высоком содержании тяжелых и высокозаряженных катионов (U, Zr) в позиции  $A^{[8]}$  для Мур-5 за счет более низкой средней валентности катионов в октаэдрических  $B^{[6]}$ -позициях.

Интересно также, что соотношение двух- и четырехвалентных катионов в позиции  $A^{[8]}$  близко к  $\sim 3 : 1$  ( $2.7(1) : 1$ ) для Мур-8 и  $\sim 2 : 1$  ( $1.7(1) : 1$ ) для Мур-5. Если допустить, что атомы разной валентности стремятся занять собственные позиции, что неизбежно должно сопровождаться упорядочением кислородных вакансий и образованием сверхструктуры, то это может объяснить более высокое значение периода повторяемости для Мур-8, чем для Мур-5 (ср.  $2.7(1) : 1.7(1) = 1.6(2)$  и  $8 : 5 = 1.6$ ). Полученные результаты желательно проверить прямыми структурными исследованиями.

Авторы выражают свою признательность акад. Н.П. Лаверову за предложение темы, проф. Ю.Д. Перфильеву за помощь в проведении мёссбауэрского эксперимента при температуре кипения жидкого азота, А.В. Сивцову и М.И. Лапиной – за проведение электронно-микроскопических исследований.

*С.В.Ю.* благодарит РФФИ (грант 99–05–65092) за финансовую поддержку.

## СПИСОК ЛИТЕРАТУРЫ

1. Ryerson F.J. // J. Amer. Ceram. Soc. 1984. V. 67. № 2. P. 75–82.
2. Лаверов Н.П., Омельяненко Б.И., Юдинцев С.В. и др. // Геол. руд. месторождений. 1997. Т. 39. № 3. С. 211–228.
3. Ercit T.S., Hawthorne F.C. // Canad. Mineralogist. 1995. V. 33. P. 1223–1229.
4. Lattard D. // Contribs Mineral. and Petrol. 1987. V. 97. P. 264–278.
5. Воронков А.А., Шумяцкая Н.Г., Пятенко Ю.А. Кристаллохимия минералов циркония и их искусственных аналогов. М.: Наука, 1978.
6. Лаверов Н.П., Горшков А.И., Юдинцев С.В. и др. // ДАН. 1998. Т. 363. № 4. С. 540–544.
7. Органова Н.И., Горшков А.И., Сивцов А.В., Юдинцев С.В. Тез. XIV совещ. по рентгенографии минералов. СПб., 1999. С. 96–97.
8. Русаков В.С. // Изв. РАН. Сер. физ. 1999. Т. 63. № 7. С. 1389–1396.
9. Русаков В.С. Мёссбауэрская спектроскопия локально неоднородных систем. Алматы, 2000. 431 с.
10. Menil F. // J. Phys. and Chem. Solids. 1985. V. 46. № 7. P. 763–789.
11. Parish R.V. In: Mossbauer Spectroscopy. Cambridge: Cambridge Univ. Press, 1986. 274 p.
12. Glasser F.P., Woodhams F.W.D. // J. Solid State Chem. 1972. V. 5. P. 255–261.
13. Modaressi A., Courtouis A., Gerardin R. et al. // J. Solid State Chem. 1983. V. 47. P. 245–255.
14. De Vries J.L.K.F., Trooster J.M., de Boer E. // Inorg. Chem. 1971. V. 10. P. 81–85.
15. Khrakov D.A., Urusov V.S., Tobelko K.I. XII Eur. Cryst. Meeting. Abstr. M., 1989. V. 3. P. 444.